

## دو ترکیبات هیبریدی آلی-غیر آلی مبتنی بر POM : ترکیب، ساختارها، خواص مغناطیسی، تجزیه نوری و جذب انتخابی رنگ های آلی

واکنش های هیدروترمال ترکیب  $\text{Cu}(\text{Ac})_2 \cdot \text{H}_2\text{O}$ ,  $\text{NH}_4(6\text{Mo}_7\text{O}_{24} \cdot 4\text{H}_2\text{O})$  و لیگاند های 3-bpo در دما های مختلف منجر به تفکیک و ایزولاسیون مواد هیبریدی آلی-غیر آلی جدید حاوی واحد های مختلف ولی مرتبط ایزولالی مولیبدات  $[\text{Cu}_2(3\text{-bpo})_2(\text{Mo}_6\text{O}_{20})] \cdot 3\text{H}_2\text{O}$  (1) و  $[\text{Cu}(3\text{-bpo})(\text{H}_2\text{O})(\text{Mo}_4\text{O}_{13})] \cdot 2\text{H}_2\text{O}$  (2) می شود. زنجیره  $\text{Mo}_6\text{O}_{20}\text{n}$  در 1 و اینیون های  $[\text{Mo}_4\text{O}_{13}]^{4-}$  در 2 با یون های مس اکتاہدرال به لایه هیبرید دو بعدی متصل می شوند. نکته جالب این است که لیگاند های 3-bpo در هر 2 در اطراف این لایه های هیبریدی قرار گرفته و به عنوان پل های قوی برای یون های لینک  $\text{Cu}^{(II)}$  در لایه از طریق دهنده های N پیریدیل عمل کرده و در عین حال این لایه های هیبریدی را به چارچوب های ابر مولکول سه بعدی از طریق پیوندهای Mo...N-oxide مرتبط می کنند. یک نکته مهم دیگر برای 1 این است که خوشه های آب در کanal های یک بعدی پر شده و توسط واحد های ایزولالی تترامولیبدات احاطه می شوند. به علاوه، جذب رنگ و خواص فتوکاتالیستی 1 و خواص مغناطیسی 1-2 بررسی شده است. نتایج نشان داد که کمپلکس 1 نه تنها یک فتوکاتالیزور ناهمگن خوب در تجزیه متیل اورنج و متیل بلو می باشد، بلکه دارای ظرفیت جذب بالای MB در دمای اتاق بوده و به طور انتخابی مولکول های متیل بلو را از ترکیبات دو گانه توانند به طور کامل آزاد شوند و در حضور پروکسید کافی تجزیه نوری گردند. همه مولکول های متیل بلو جذب شده بر روی 1 به طور کامل در حضور پروکسید کافی آزاد می شوند. واپسی دمایی حساسیت مغناطیسی نشان داد که کمپلکس 2 یک ترتیب و نظم آنتی فرومغناطیسی در حدود 5 K را نشان می دهد و یک انتقال چرخش-فلالپ در حدود  $t = 5.8 \text{ k}$  در مشاهده شد و نشان دهنده رفتار متنا مغناطیسی از فاز های آنتی فرومغناطیسی تا فرومغناطیسی است.

مقدمه

پلی اکسامتالات (POM) نوعی خوشه متاباکسید غیر آلی و معدنی می باشد که با پلی هدرا MOX فلز واسطه از طریق گوشه ها، یال ها و وجه ها جمع اوری شده و دارای ترکیبات و توپولوژی های فراوان، و ویژگی های فتوشمیایی و الکترونیکی متنوع و قابلیت تعديل اسید و باز است. تا کنون تعداد زیادی از پلی اکسامتالات به طور گستردۀ ای در زمینه های کاتالیز، پزشکی، الکترونیک، مغناطیسم و اپتیک مورد استفاده قرار گرفته اند(۱-۵). اخیرا، یک موضوع تحقیقاتی جدید در این زمینه، استفاده از POM ها به عنوان اجزای ساختاری غیر الی برای ساخت مواد هیبریدی آلی- غیر آلی با قطعات فلزی-آلی با قطعات کثوردیناسیون آلی- فلزی استفاده شده اند. از دیدگاه ساختاری، آنیون های پلی اکسامتالات در این هیبرید ها رامی توان به عنوان یون های الگو از طریق پیوند های غیر کوالان در نظر گرفت. از این روی مواد هیبریدی با بستر POM، ترکیبی از مزایای پلی اکسامتالات غیر الی و کارکرد های اجزای آلی می باشد که موجب شده است برای بسیاری از زمینه های بالقوه جذاب باشد که متغیر از ذخیره گاز، تفکیک شیمیایی و کاتالیز برای واکنش های تبادل یون می باشند.

علاوه بر هترو پلی اکسامتالات ها کگین در خانواده بزرگی از POM ها، اکتا ملی بdat  $[Mo_8O_{26}]^{4-}$  به آسانی تولید شده و یا از طریق پیش ساز های واکنشی تحت شرایط هیدروترمال تشکیل می شود. به علاوه، بر طبق ارایش  $MoO_4$ ,  $MoO_5$ ,  $MoO_6$  و پلی هدرا  $MoO_6$ , حداقل نه نوع ایزومر های اکتمولی بdat (  $\alpha$ - $[Mo_8O_{26}]^{4-}$  و  $\beta$ - $[Mo_8O_{26}]^{4-}$  و  $\gamma$ - $[Mo_8O_{26}]^{4-}$  و  $\delta$ - $[Mo_8O_{26}]^{4-}$  و  $\varepsilon$ - $[Mo_8O_{26}]^{4-}$  و  $\zeta$ - $[Mo_8O_{26}]^{4-}$  و  $\eta$ - $[Mo_8O_{26}]^{4-}$  و  $\theta$ - $[Mo_8O_{26}]^{4-}$ ) گزارش شده است. این ایزومر های اکتمولی بdat، قابلیت های کثوردیناسیون نسبتا خوبی را با یون های فلزی نشان داده و نیز توانایی خود مونتاژی و هماوری را برای تشکیل زنجیره های غیر آلی دارند. در نتیجه، اکتمولی بdat و گونه های مشتق آن ها به طور گستردۀ ای به عنوان واحد های اصلی غیر الی برای ساخت ساختار های میزان- مهمان استفاده می شوند. در نتیجه، اکتمولی بdat و گونه های مشتق آن ها به طور گستردۀ ای به عنوان واحد های ساختاری غیر الی برای ساخت و تولید ساختار های مهمان و میزان و مواد هیبریدی آلی- غیر الی در نظر گرفته می شوند. مواد هیبریدی بر اساس هترو پلی اکسامتالات گزارش شده اند که نمونه هایی از مواد هیبریدی غیر الی- الی بر اساس زنجیره های یک بعدی یا لایه های دو بعدی پلی اکسامتالات بسیار نادر می باشند. و یک زمینه تحقیقاتی جدید می باشد و برای شیمی دان های POM برای طراحی و سنتز مواد هیبرید الی- غیر الی با پشتیبانی POM محسوب می شود.

یک نکته مهم دیگر در زمینه سنتز مواد هیبریدی الی- غیر الی پشتیبانی شده با POM، انتخاب لیگاند آلی مناسب می باشد زیرا طول، شکل هندسی و توانایی کئور دیناسیون لیگاند های آلی نقش های مهمی در تولید چارچوب ها استفاده می شوند. برای مثال، لیگاند های حاوی N پلی دندات نظیر  $2,2'$ -bipy, 1,10-phen, 4,4'-bipy و  $2,4,6$ -tris(4-pyridyl)-1,3,5-triazine, به طور گسترده ای به عنوان لینکر های پل و کلاته کننده به دلیل تنوع حالت های ارتباطی استفاده شده اند. از این روی، لیگاند  $2,5$ -bis(3-pyridyl)-1,3,4-oxadiazole برای تولید مواد هیبریدی الی- غیر الی با پشتیبانی POM انتخاب می شود زیرا، حالت های متوازن متنوع را در پلیمر های فلزی- الی نشان می دهد و درجات خاصی از انعطاف پذیری بیان شده با زوایای قابل تغییر بین حلقه های پیریدیل و حلقه قابل اکسایش را دارد. همان طور که انتظار می رود، واکنش های هیدروترمال  $\text{Cu}(\text{Ac})_2 \cdot \text{H}_2\text{O}$  و  $(\text{NH}_4)_6\text{Mo}_7\text{O}_{24} \cdot 4\text{H}_2\text{O}$  با 3bpo تحت دما و مقادیر اسیدیته متفاوت، دو هیبرید الی- غیر الی مبتنی بر POM را ایجاد می کند یعنی - $[\text{Cu}(3-$   
 $[\text{Cu}2(3\text{-bpo})2(\text{Mo}_6\text{O}_{20})] \cdot 3\text{H}_2\text{O}$  (1) و  $(2)$   $[\text{Cu}2(3\text{-bpo})(\text{H}_2\text{O})(\text{Mo}_4\text{O}_{13})] \cdot 3\text{H}_2\text{O}$  (2)  
 ایزو پلی تترامولیبدات با یال های مشترک را می توان نیمی از یک  $\beta\text{-}[\text{Mo}_8\text{O}_{26}]^{4-}$  متقارن در نظر گرفت و به زنجیره های نامتناهی  $\{\text{Mo}_4\text{O}_{13}\}_n$  با گوشه های مشترک توسعه داد، در حالی که ایزوپلی هگزامولیبدات هگزامولیبدات نشان می دهد. زنجیره های  $\{\text{Mo}_4\text{O}_{13}\}_n$  در 1 و واحد ایزوپلی هگزامولیبدات در 2 با یون های مس به لایه های دو بعدی متصل شده و این لایه ها به نوبه خود به چارچوب های ابر مولکولی سه بعدی از طریق پیوند های ضعیف  $\text{Mo} \cdots \text{N}$  متصل می شوند. به علاوه، جذب رنگ و ویژگی های فتوکاتالیستی 1 و خواص مغناطیسی 2- بررسی شده اند.

ازمایشی

مواد و روش ها

لیگاند 3-bpo بر طبق روش گزارش شده در منابع سنتز شد. سایر معرف ها و حلال ها برای سنتز از مراکز تجاری خریداری شده و بدون تخلیص استفاده شدند. تحلیل عناصر C-H-N بر روی میکرو انالیزور Elementar

Vario EL III انجام شد. طیف های IR بر روی یک طیف Vertex70 KBR با پلت در منطقه 400-4000 بدهست امد. مطالعات پیاداری حرارتی بر روی سیستم TGA/DSC 1 STAR<sup>e</sup> تحت N2 با نرخ 10 درجه در دقیقه انجام شدند. داده های انکسار اشعه ایگکس بر روی انکسار سنج MiniFlexII با اشعه دهی Cu-K $\alpha$  مونوکروکات گرافیتی ثبت شد.

طیف های بازتابش طیف نوری بر روی BASO4 با پلیت PE Lambda 900 UV-Vis به صورت مرجع اندازه گیری شد. فتوکاتالیز ترکیب 1 با یک لامپ Xe 300 W به عنوان منبع نور مرئی انجام شده و با طیف سنجی مرئی-فرابنفش تحلیل شد. اندازه گیری مغناطیسی با استفاده از سیستم اندازه گیری PPMS و سیستم اندازه گیری ویژگی های مغناطیسی انجام شد. مغناطیسی پذیری در 0.1 یا 0.5 T از 300 تا 2K اندازه گیری شد و ویژگی مغناطیسی در 2K در میدان کاربردی از -8 تا 8T اندازه گیری شد.



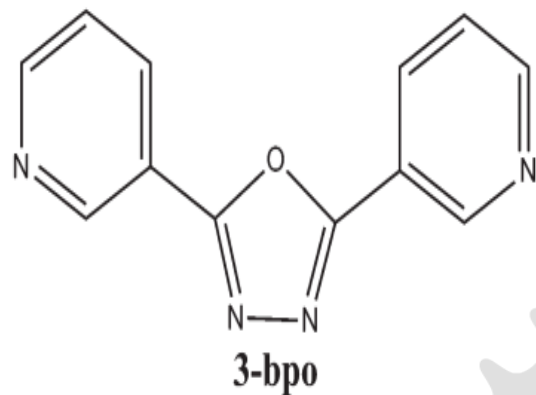
یک ترکیب  $(\text{NH}_4)_6\text{Mo}_7\text{O}_{24} \cdot 4\text{H}_2\text{O}$ ,  $\text{Cu}(\text{Ac})_2 \cdot \text{H}_2\text{O}$ , 3bpo در 10 میلی لیتر آب یونیزه در دمای اتاق حل شد.

پس از تعديل مقدار اسیدیته ترکیب به 0.3 با 2 مول HCl، سوسپانسیون واکنش انتقال یافته و در ویال شیشه ای قرار گرفت. این ترکیب از 15.10(15.15); H, 1.88(1.77); N, 5.87(5.83). IR (KBr, cm<sup>-1</sup>): 3427 (m), 3093(w), 2966(w), 1623(m), 1557(w), 1483(w), 1423(m), 1262(m), 1102(m), 962(s), 895(s), 801(s), 694(s), 601(s) تعیین شد.



یک ترکیب  $(\text{NH}_4)_6\text{Mo}_7\text{O}_{24} \cdot 4\text{H}_2\text{O} \cdot \text{Cu}(\text{Ac})_2 \cdot \text{H}_2\text{O}$ , 3bpo در 5 میلی لیتر آب یونیزه و 5 میلی لیتر اتانول در دمای اتاق حل شد. پس از تعديل مقدار PH به حدود 2 مول هیدرو کلریک اسید، سوسپانسیون واکنش در محفظه فولادی در دمای 110 درجه تحت فشار اتوژن به مدت سه روز قرار گرفته و سپس تا دمای اتاق خنک شد. بلور های سبز 2 فیلتر شده و با اب شسته شده و در دمای اتاق باز قرار گرفت.

2: C, 19.52(19.45); H, 1.35(1.19); N, 7.59(7.65). IR (KBr, cm<sup>-1</sup>): 3454(w), 3107(w), 1616(m), 1557(m), 1489(m), 1416(m), 1202(m), 1096(m), 1055 (w), 1022(w), 948(s), 888(s), 795(s), 708(s), 641(s), 560(s).



شکل 1: ساختار یک لیگاند 3-BPO در این مطالعه

### بلورشناسی اشعه ایکس

داده های انکسار اشعه ایکس تک طیف از کمپلکس 1 بر روی انکسار سنج MicroMax 007 مجهز به دتکتور CCD با استفاده از اشعه مونوکرومات Mo-K $\alpha$  در 173 کلوین ثبت شد در حالی که برای کمپلکس 2، از انکسار سنج سوپر نوا فناوری هوشمند مجهز به دتکتور اطلس استفاده شد. داده ها برای جذب با استفاده از روش چند طیفی در SADABS تصحیح شدند. یک ISOR بر روی اتم کربن با مسائل NPD در ساختار بلورین 1 انجام شده و همه اتم های غیر هیدروژنی در هر دو ساختار با پارامتر های ناهمسانگرد اصلاح شدند. همه اتم های هیدروژن بر روی اتم های کربن به طور هندسی تولید شده و در مدل با استفاده از پارامتر های جایگزینی ایزوتروپیگ اصلاح شدند، در حالی که اتم های هیدروژن بر روی مولکول های اب 1 از نقشه E گرفته شدند.

جدول 1: داده های بلور و ساختار بلور برای کمپلکس های 1-2

	1	2
Empirical formula	C <sub>12</sub> H <sub>16</sub> CuMo <sub>4</sub> N <sub>4</sub> O <sub>18</sub>	C <sub>12</sub> H <sub>8</sub> CuMo <sub>3</sub> N <sub>4</sub> O <sub>1</sub>
F <sub>w</sub>	951.59	735.59
Space group	P $\bar{1}$	P $\bar{1}$
a (Å)	8.252(6)	8.2951(4)
b (Å)	9.073(6)	9.1416(6)
c (Å)	16.414(11)	13.2695(7)
$\alpha$ (°)	88.681(9)	109.205(6)
$\beta$ (°)	80.237(9)	93.720(4)
$\gamma$ (°)	70.809(8)	109.834(5)
V (Å <sup>3</sup> )	1143.1(14)	876.04(9)
Z	2	2
$d_{\text{calcd}}$ (g cm <sup>-3</sup> )	2.765	2.789
$\mu$ (mm <sup>-1</sup> )	3.148	19.266
F (000)	914	702
Reflections collected	11 254	7287
Unique reflections ( $R_{\text{int}}$ )	5134 (0.0399)	3632(0.0368)
Restraints/parameters	16/373	0/280
GOF on $F^2$	1.092	1.019
$R_1$ , <sup>a</sup> w $R_2$ , <sup>b</sup> ( $I > 2\sigma(I)$ )	0.0710, 0.2451	0.0315, 0.0775
$R_1$ , w $R_2$ (all data)	0.0774, 0.2492	0.0419, 0.0849
Max, min peaks (e Å <sup>-3</sup> )	2.029, -1.373	0.880, -0.958

$$^a R_1 = \sum ||F_o| - |F_c|| / \sum |F_o|. \quad ^b wR_2 = \{\sum [w(F_o^2 - F_c^2)^2] / \sum [w(F_o^2)^2]\}^{1/2}.$$

### آزمایش جذب مولکول های رنگ برای 1

آزمایشات جذب شامل آزمایشات تعادل واجذب، آزمایشات سینتیک واجذب، آزمایشات واجذب انتخابی و آزمایشات واجذب بودند. کریستال های سنتز شده در محلول رنگ در دمای اتاق در یک فلاسک با هم زنی همزمان پراکنده شدند. در داخل یک ویال، غلظت های رنگ ها با طیف های فرابنفش در جذب ماکریمم هر رنگ اندازه گیری شد.

جزئیات هر آزمایش در ESI ارایه شده است.

### تجزیه نوری MO و MB با استفاده از 1

بلور های سنتز شده 1 و پروکسید هیدروژن در محلول آبی متیلن ابی پراکنده شد. نمونه ها از راکتور در طی روشنایی برداشته شده و با اندازه گیری جذب محلول MO یا MB پس از اشعه دهی نورمئی ارزیابی شد. برای مقایسه آزمایشات بلانک در نبود 1 انجام شد. به دلیل جذب انتخاب برای متیلن بلو، مقدار متفاوت پروکسید برای بررسی این اثرات تجزیه نوری مولکولی MB در محلول استفاده شد.

### تجزیه ساختار

ساختار بلور 1: کمپلکس 1 در گروه تریکلینیک اسپیس P1 متبادر می شود. چهار اتم Mo منحصر به فرد در واحد متقارن 1 وجود داشته و هر یک در شکل هندسی کئور دیناسیون پیوند مضاعف و چهار پیوند Mo-O در باز قرار می گیرد. با این حال Mo1-MO3 و مناطق متقارن آن ها پیوند تشکیل داده و ایجاد یک اتم N از قطب

اکسیدازول لیگاند های 3-bpo قرار می گیرد. نکته جالب این که هر واحد Z شکل می تواند چهار

نقطه پیوندی را ایجاد کند در حالی که واحد آنتی Z دو مکان اکسیژنی را برای پیوند یون های مس ایجاد می

کند. در نتیجه زنجیره های  $\{Mo_4O_{13}\}$  مجاور با یون های مس به یک لایه غیر الی دو بعدی پل زنی می کند.

همان طور که در شکل 2 الف و پ نشان داده شده است هر لیگاند 3-Bpo به عنوان پیوند تترادنات عمل می

کند که در آن دو دهنده پیریدی ل پیوند ضعیفی داشته و به واحد های  $\{Mo_4O_{13}\}$  پیوند می خورد در نتیجه،

لیگاند های 3 در اطراف لایه غیر الی قرار گرفته و به عنوان پلی برای پیوند یون های مس در لایه عمل می

کند. همه یون های مس در هیبرید تشکیل یک شکل هندسی کئوردیناسیون با فواصل پیوندی نرمال

$(i.e. Cu-O, 2.091(9)-2.197(9) \text{\AA}, Cu-N, 1.981(8)-1.985(11) \text{\AA})$  و زوایای پیوندی می دهد.

به علاوه، لایه های هیبریدی مجاور از طریق پیوند های ضعیف  $Mo-N_{\text{oxadiazole}}$

b به یک چارچوب ابر مولکولی سه بعدی با کانال یک بعدی در امتداد محور  $(Mo-N, 2.648(8)-2.687(8) \text{\AA})$

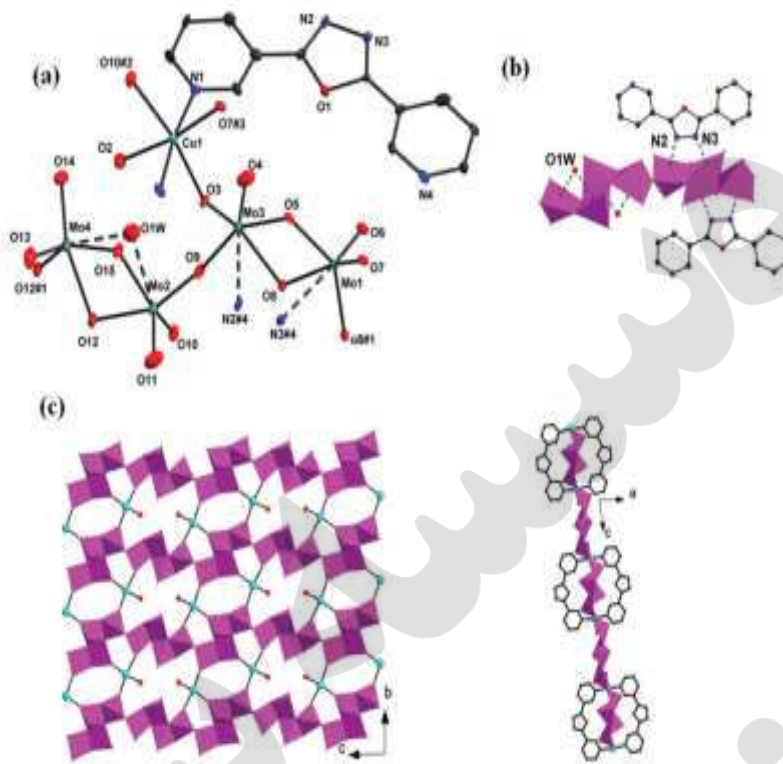
متصل می شوند. نکته جالب این که مولکول های اب در کاتال ها پیوند هیدروژنی داشته و تشکیل خوشه های

آبی می کنند که با چارچوب میزبان از طریق پیوند های  $O-H \cdots O$  یا پیوند های

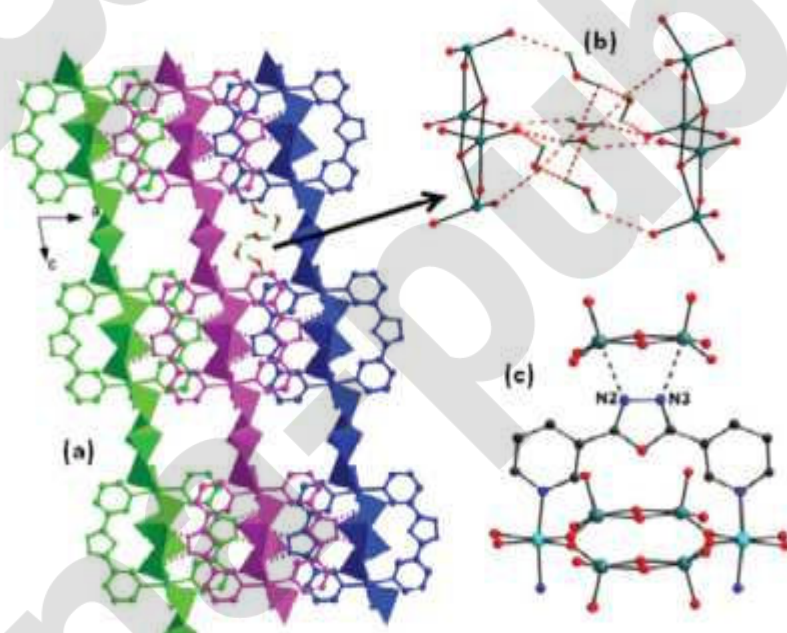
$(Mo-O, 2.641(4)-2.635(4) \text{\AA})$ . نیز فعل و انفعال پیدا می کنند. با در نظر

گرفتن پیوند های  $Mo-N$  و  $Mo-O1W$  ضعیف، شکل هندسی اتم های MO در 1 را می توان به صورت اکتاھدرال

طویل توصیف کرد.



شکل ۱: الف: واحد متقارن و محیط های کوئردناسیون اطراف یون های فلزی ۱.

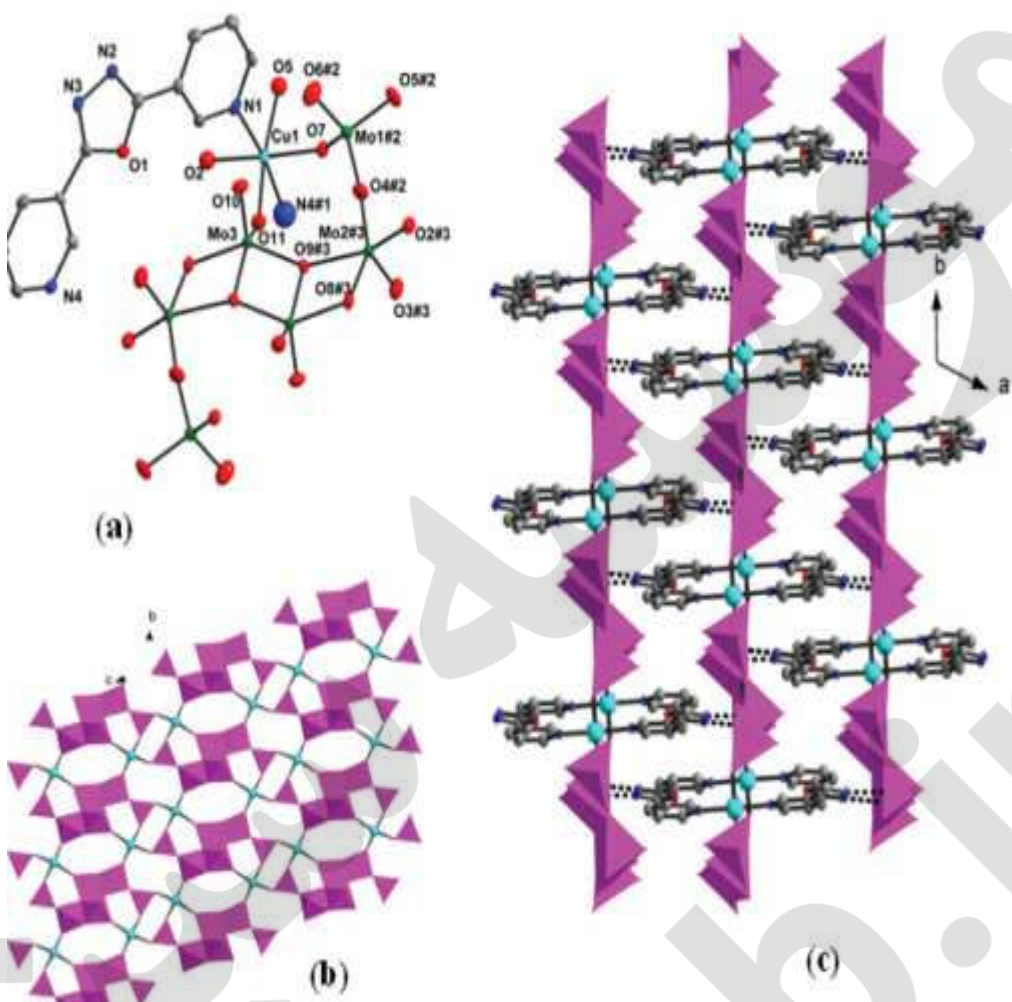


شکل ۲: الف: چارچوب ابر مولکولی سه بعدی ۱ با کانال هایی که با مولکول های آب اشغال شده است ب: فعل و انفعال مولکول های آب با واحد های  $\{Mo_4O_{13}\}$  آنتی Z شکل. پ: حالت کوئردناسیون لیگاند 3BPO و پیوند  
های ضعیف Mo-N در ۱

ساختار بلور ۲

تحلیل انکسار اشعه ایکس تک بلور نشان داد که کمپلکس 2 در گروه تریلینیک اسپیس متلور می شود و ساختار ان مت Shankل از یک شبکه اکسید بی متالیک دو بعدی  $[\text{Cu}(3\text{-bpo}) (\text{Mo}_6\text{O}_{20})_{1/2}]_n$  با لگیاند های 3 bpo در هر طرف لایه است. همان طور که در شکل 3 الف نشان داده شده است، سه اتم مستقل Mo در واحد غیر متقارن 2 وجود دارد گه در آن هر دو  $\text{Mo}^2$  و  $\text{Mo}^3$  با پنج اکسیژن در یک شکل هندسی هرمی مربع کوردینات شده و دارای دو پیوند  $\text{MO-O}$  (2.114(3)-2.171(4) Å), دو پیوند  $\text{MO-MO}$  (1.679(4)-1.747(4) Å), MO-O می باشد.

$\text{Mo}^2$ ,  $\text{Mo}^3$  و مکان های متقارن مرکزی دارای یال مشترک بوده و تشکیل یک خوشه مرکزی  $\{\text{Mo}_4\text{O}_{13}\}$  می دهند که مشابه با مورد مشاهده شده در ایزپلی مولیبدادات پیریدیموم یک بعدی است. دو  $\text{MoO}_4^{4-}$  تراهدرالی از طریق نقاط انتهایی قطب  $\{\text{Mo}_4\text{O}_{13}\}$  وجود داشت که یک هگزامولیبدادات  $[\text{Mo}_6\text{O}_{20}]^{4-}$  متفاوت از هگزامولیبدادات می باشد. همان طور که در شکل 3 ب نشان داده شده است هر هگزامولیبدادات  $[\text{Mo}_6\text{O}_{20}]^{4-}$ ، هشت اکسیژن را ارایه می کند که با شش یون مس پیوند برقرار می کند. هر یون مس با سه انسیون پیوند برقرار می کند. اتصال یون های مس و انسیون های هگزامولیبدادات از طریق اکسیژن ایجاد یک لایه غیر ارگانیک می کند. نکته جالب این که همه یون های مس در لایه دارای چند لایه هستند و یون های همسایه دو نوع تفکیک  $\text{Cu} \cdots \text{Cu}$  را نشان می دهند. تفکیک  $\text{Cu} \cdots \text{Cu}$  با دو ترا هدرالی  $\text{MoO}_4^{4-}$  پیوند برقرار می کند در حالی که نوع بلند تر (7.973 Å) با دو نیم قطب  $\{\text{Mo}_4\text{O}_{13}\}$  و دو لیگاند 3-BPO پیوند برقرار می کند.



شکل 3: واحد غیر متقارن و واحد های ساختاری  $\{Mo_6O_{20}\}$  در 2 ب: واحد های  $\{Mo_6O_{20}\}$  متصل از طریق یون های مس به لایه معدنی در 2. پ: نمایی از یک چارچوب ابر مولکول س بعدی که لیگاند های 3BPO را بر روی هر طرف از لایه ها و پیوند های ضعیف  $Mo-N_{oxadiazole}$  نشان می دهد.

لیگاند های 3-bpo 3 حالت کثوردیناسیون یکسانی را به صورت نشان داده شده در 1 نشان می دهد. لیگاند های 3-bpo 3 واقع در لایه های غیر الی 2 ایجاد یون های مس از طریق دهنده N پیردیل کرده و در نتیجه، هر بخش مس در لایه یک شکل هندسی کثوردیناسیون اکتاھدرال را با چهار اتم اکسیزن از سه ابیون  $[Mo_6O_{20}]^4-$  و دو N پیردیل از دو لیگاند 3-bpo 3 نشان می دهد. لازم به ذکر است که فواصل مس- اکسیزن طولانی تر از فواصل مساوی مس- اکسیزن و پیوند های مس- نیتروژن  $(2.326(3)-2.415(4) \text{ \AA})$  به دلیل اثر جان تلر یون های مس است. مشابه با 1، لایه های دو فلزی از طریق پیوند

های ضعیف تعیین می شود.

## بحث

مقدار و نوع واکنش دهنده اولیه در ترکیبات 1 و 2 به طور کامل مشابه بودند. با این حال، شرایط محیطی متفاوت نظیر دما، فشار، اسیدیته منجر به تولید محصولات متفاوت می شود. با این حال بسیاری از تشابهات شامل موارد زیر است: اول، شبکه ها در دو کمپلکس از نظر ساختار متفاوت ولی از نظر ترکیب مشابه می باشند. آن ها در لایه های غیر الی تشکیل شده با یون های مس و انيون های پلی اksamاتالات قرار دارند. دوم، حالت کثوردیناسیون لیگاند 3-bpo، مشابه با پیوند تترادنات است. سوم، آن ها ابر مولکول های پلی اksamاتالات الی با پیوند  $\text{Mo}-\text{n}$  ضعیف از لایه مجاور می باشد. از این روی، شرایط کنترل واکنش برای سنتز فلزات عاملی - پلی اksamاتالات مهم است.

### طیف های جذب نوری، تحلیل TGA و مشخصات 1 PXRD و 2

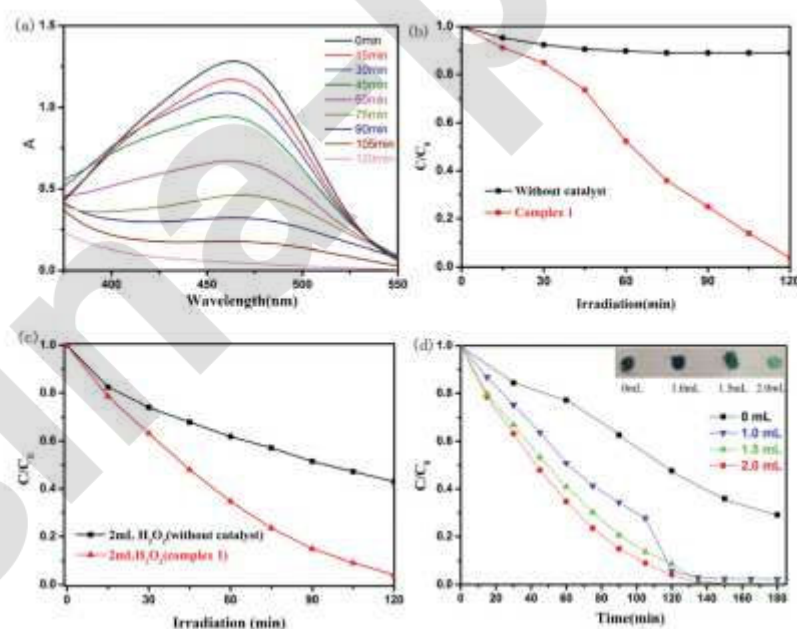
کمپلکس 1 و 2 ویژگی های طیف سنجی IR مشابه را نشان داده و باند های چذبی به مناطق زیر تقسیم می شوند 1- باند قوی و گستردۀ حول 3400 سانتی متر برای 1 که با ارتعاش O-H مولکول های آب با پیوند هیدروژنی متناظر است 2- 3000 تا 2800 سانتی متر و 1620-1080 سانتی متر به انواع مختلف ارتعاش لیگاند های الی نسبت داده می شود 3- 1000-850 سانتی متر به کشیدگی MO-O نسبت داده می شود. 4- به پل Mo-O-Mo نسبت داده می شود. اندازه گیری طیف های انکسار 1 و 2 در دمای اتاق یک شکاف نوری 2.9 اکی والان را نشان داد که این موضوع بیانگر آن است که هر دو کمپلکس مواد نیمه هادی هستند. برای مطالعه پایداری حرارتی کمپلکس های 1 و 2، اندازه گیری های TGA تحت جریان نیترژن انجام شدند. برای کمپلکس 1، دو مرحله مجزا از کاهش وزن مشاهده شد. ب اولین مورد در دمای 30 تا 110 درجه متناظر با ازاد سازی مولکول های آب بود و دومین مورد با پلتفرم طولانی تا 320 درجه همراه بود که پس از آن چارچوب هیبریدی شروع به تجزیه می گند.

با حرارت دهی، کمپلکس 2 هیچ کاهش یا افت وزن مشهودی را قبل از تجزیه چارچوب نشان نمی دهد. همان طور که می توان در شکل S5 دید، الگوهای XPRD اندازه گیری شده 1 و 2 همخوانی خوبی با الگوهای شبیه سازی شده از داده های اشعه ایکس تک بلورین دارند که موید خلوص هر دو کمپلکس است.

### خواص فتوکاتالیزوری 1

بديهی است که مواد هيبريدی مبتنی بر POM فتوکاتاليزور های کارامد در تجزیه رنگ های آلی است. به دليل ويژگی های ساختاري و شکاف نوري باريک، كمپلکس 1 به عنوان کانديد فتوکاتاليزوری برای بررسی تجزیه نوري متيل نارنچی و ابي استفاده شد که يك منبع الودگی اي است که تجزیه آن بسيار سخت می باشد. پس از توزيع و انتشار جامدات بلورين 1 در محلول MO و افزایش مقدار پروکسید هيdroژن، ترکيب واکنش هم زده شد و با انتشار جامدات بلورين 1 در محلول MO به عنوان منبع نور مرئي اشعه دهی شد. تجزیه MO با پيك جذب MO در 464 نانومتر پايش شد.

همان طور که در شکل 4 الف نشا ن داده شده است، پيك های جذب محلول MO به طور مشهودی با افزایش زمان واکنش کاهش يافت. محاسبات نشان داد که تبدیل MO به 96.19 در طی دو ساعت حاصل شد. در مقام مقایسه، پيك های جذب MO در نبود 1 ، تغييرات مشهودی را نشان نداد و تجزیه MO کم تر از 10 درصد است. به علاوه، به علاوه، ازمايشات فتوکاتاليسنی با جامد های بازيافت شده از محلول واکنش انحام شده و نتایج مشابه بدست امد و اين نشان می دهد که فعالیت کاتاليزور بازيابی شده پس از سه دوره کاهش نمی يابد. اين هم چنین نشان می دهد که کمپلکس 1 يك فتوکاتاليزور ناهمگن خوب در تجزیه رنگ الی MO است. همان طور که در شکل 4 پ نشان داده شده است پس از 2 ساعت اشعه دهی مرئي،  $C/C_0$  کاهش يافته و به صفر در حضور کمپلکس 1 نزديک شد. و اين نشان می دهد که کمپلکس 1 درجه اي از نقش کاتاليزوري را در تجزیه نوری mb نشان می دهد.

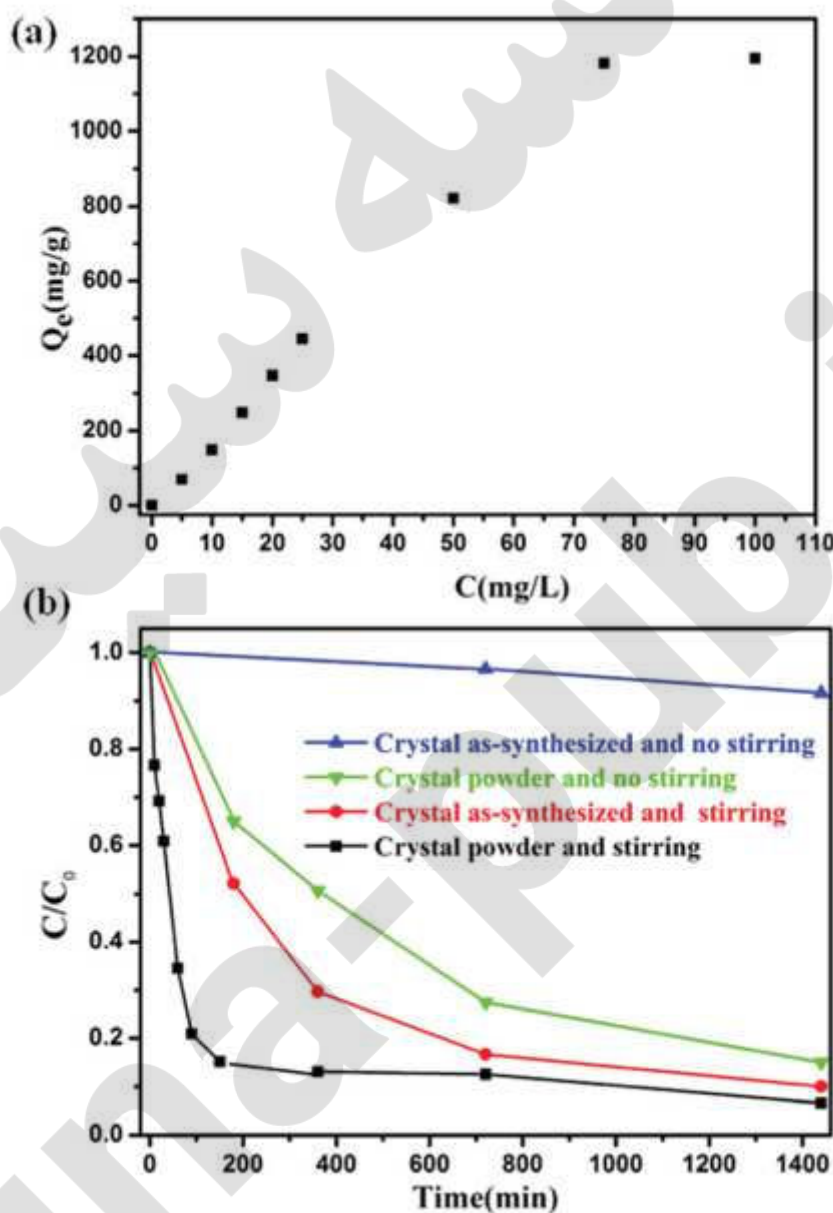


شکل 4: طیف های جذب فرابنفش محلول MO در طی واکنش تجزیه در حضور 1 تحت اشعه فرابنفش ب: تغییرات در پلات  $C/C_0$  محلول MO در برابر زمان واکنش بدون یک کاتالیزور و در حضور 1 پ: تغییرات در نمودار های  $C/C_0$  از محلول MB در برابر زمان واکنش بدون کاتالیزور و در حضور 1 ت: تغییرات در نمودار های  $C/C_0$  از محلول MB در برابر زمان واکنش در حضور مقدار متفاوت پروکسید و مقدار یکسان 1 تحت اشعه فرابنفش

### جذب انتخابی مولکول رنگ بر روی 1

در دهه های اخیر، توجه زیادی به کاربرد POM و ترکیبات مربوطه در تجزیه فتوکاتالیستی رنک های الی معطوف شده است. با این حال برخی از کمپلکس ها تجزیه پذیری ضعیفی را به دلیل محدودیت ساختاری نشان می دهد. از دیدگاه بازیافت، کشف توانایی تفکیک رنگ های الی با استفاده از ترکیبات POM جذاب تر است. در طی عملکرد ازمایشات تجزیه نوری MB، مشاهده شده است که وقتی محلول MB و نمونه 1 تعریف شد، رنگ جامد پودر نهایی بازیافت شده با فیلتراسیون از آبی تیره تا سبز متغیر بود. وقتی که مقدار پروکسید در 2 میلی لیتر، کنترل شد و به صفر پس از 3 ساعت کاهش یافت و رنگ جامد به صورت سبز بود. با این حال اگر مقدار پروکسید کمتر از 1 میلی لیتر است و رنگ جامد سبز آبی می باشد. تحلیل انکسار اشعه ایکس تک بلور نشان داد که کمپلکس 2 در گروه تریلینیک اسپیس متببور می شود و ساختار ان متشکل از یک شبکه اکسید بی متالیک دو بعدی با لگیاند های 3 bpo در هر طرف لایه است. همان طور که در شکل 3 الف نشان داده شده است، سه اتم مستقل MO در واحد غیر متقارن 2 وجود دارد گه در آن هر دو Mo<sup>2+</sup> و Mo<sup>3+</sup> با پنج اکسیژن در یک شکل هندسی هرمی مربع کوردینات شده و دارای دو پیوند MO-O  $(1.679(4)-1.747(4) \text{ \AA})$ ، دو پیوند  $\text{Mo}_2$ ,  $\text{Mo}_3$  و مکان های متقارن مرکزی دارای یال  $(2.114(3)-2.171(4) \text{ \AA})$ ، مشارک بوده و تشکیل یک خوشه مرکزی  $\{\text{Mo}_4\text{O}_{13}\}$  می دهند که مشابه با مورد مشاهده شده در ایزپلی مولیبدات پیریدیموم یک بعدی است. دو  $\text{MoO}_4^{2-}$  تراهdera از طریق نقاط انتهایی قطب  $\{\text{Mo}_4\text{O}_{13}\}$  وجود داشت که یک هگزامولیبدات  $[\text{Mo}_6\text{O}_{20}]^{4-}$  متفاوت از هگزامولیبدات می باشد. همان طور که در شکل 3 ب نشان داده شده است هر هگزامولیبدات  $[\text{Mo}_6\text{O}_{20}]^{4-}$ ، هشت اکسیژن را ارایه می کند که با شش یون مس پیوند برقرار می

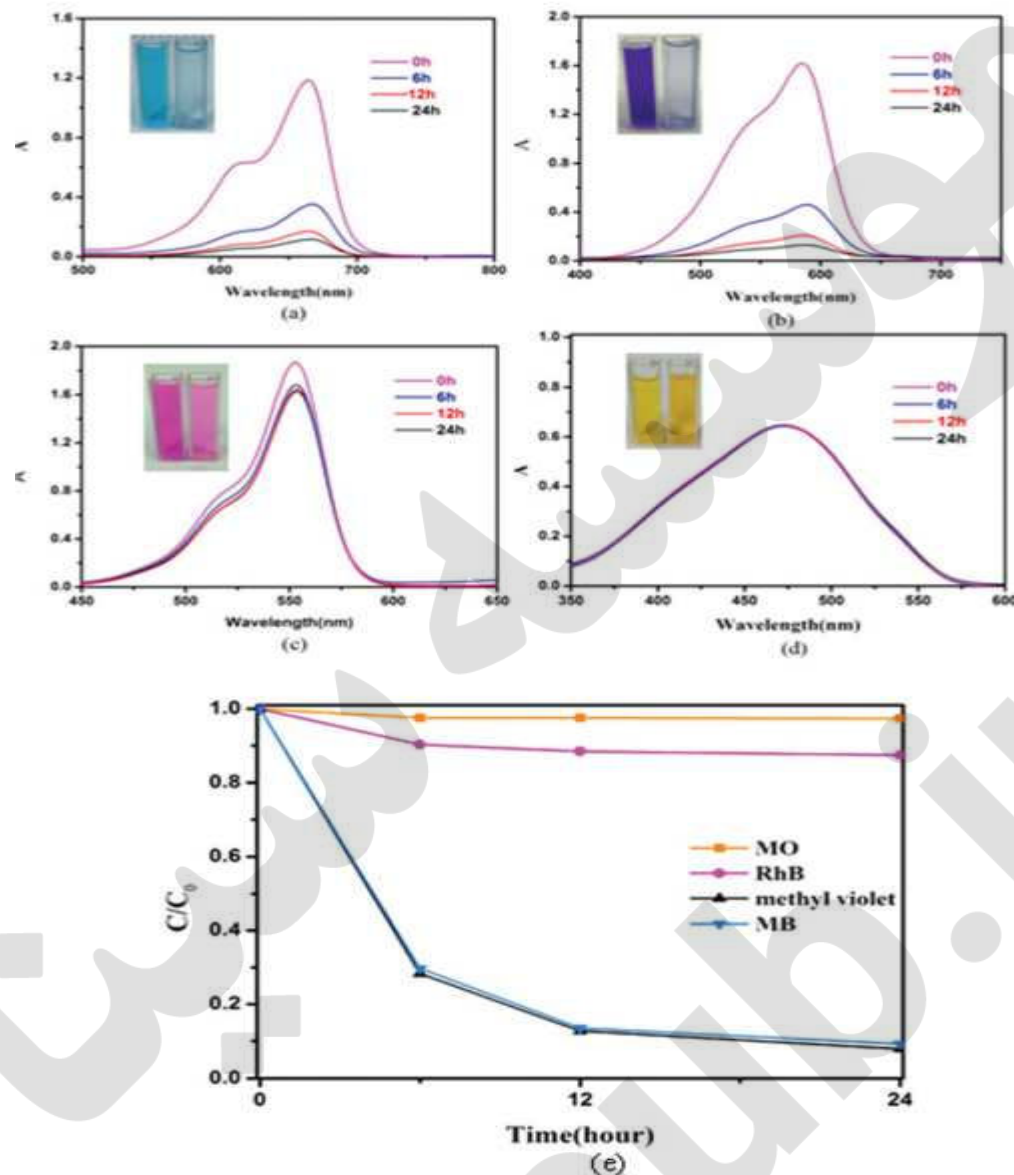
کند. هر یون مس با سه انیون پیوند برقرار می کند. اتصال یون های مس و انیون های هکزامولبیدات از طریق اکسیژن ایجاد یک لایه غیر ارگانیک می کند. نکته جالب این که همه یون های مس در لایه دارای چند لایه هستند و یون های همسایه دو نوع تفکیک  $\text{Cu} \cdots \text{Cu}$  را نشان می دهند. تفکیک  $\text{Cu} \cdots \text{Cu}$  با دو تتراء  $\text{MoO}_4$  پیوند برقرار می کند در حالی که نوع بلند تر  $\{(\text{Mo}_4\text{O}_{13})_2\}$  با دو نیم قطب  $(7.973 \text{ \AA})$  و دو لیگاند 3-BPO پیوند برقرار می کند.



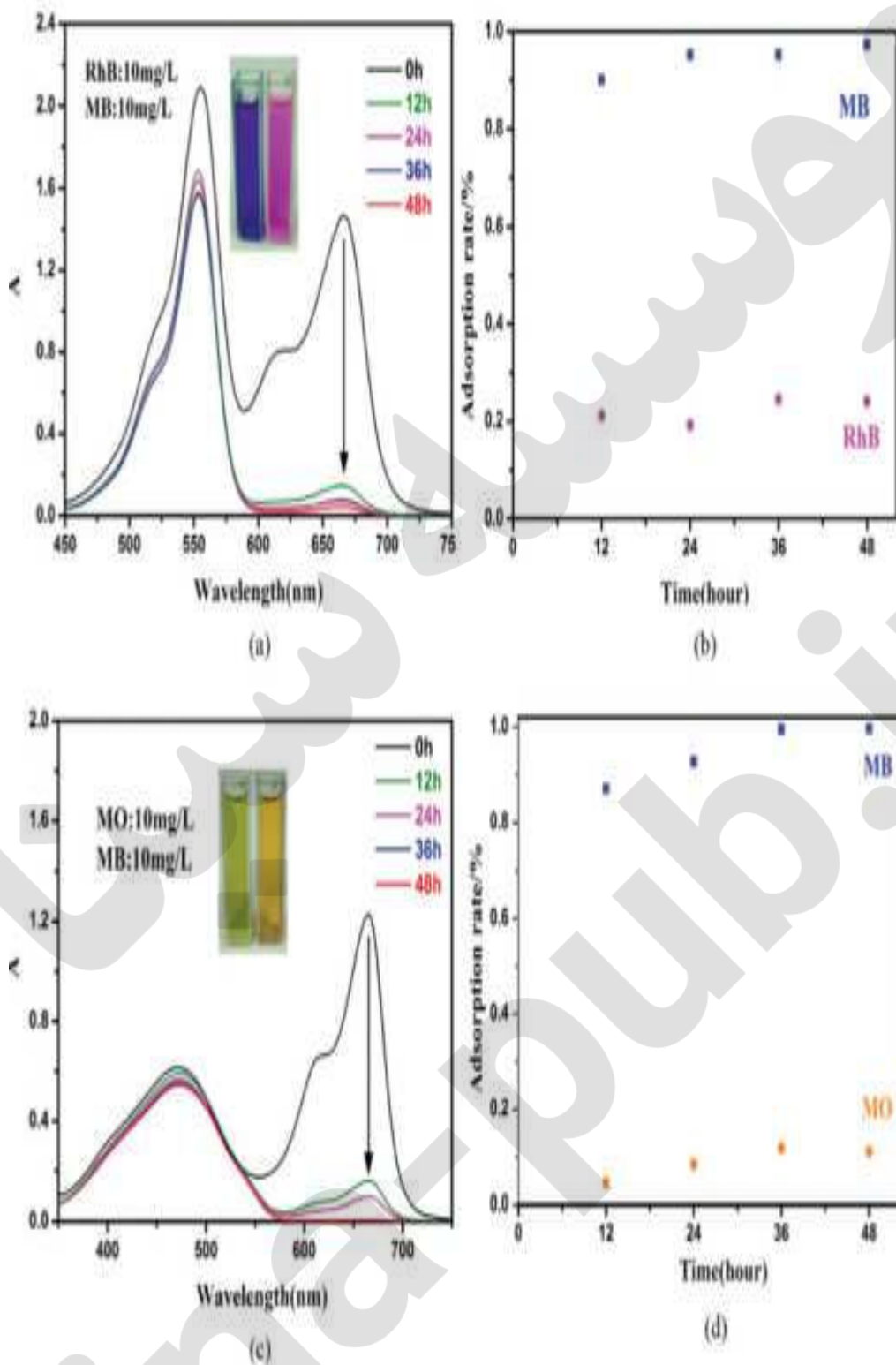
شکل 5: а) ایزوترم جذب MB بر روی کمپلکس 1 در K298. ب: مقایسه نرخ جذب و جذب با استفاده از مسیر های مختلف

علاوه بر ظرفیت جذب، ما به مطالعه عوامل موثر بر سرعت جذب MB بر روی 1 از طریق شیوه های ازمایش زیر می پردازیم. الف: بلور های سنتز شده در محلول MB بدون اختلال ب: بلور ها به پودر تبدیل شده و در محلول MB بدون اختلال قرار داده شد پ: بلور ها در محلول MB سنتز شده است. ت: بلور ها به پودر تبدیل شده و در محلول MB توزیع می شود.

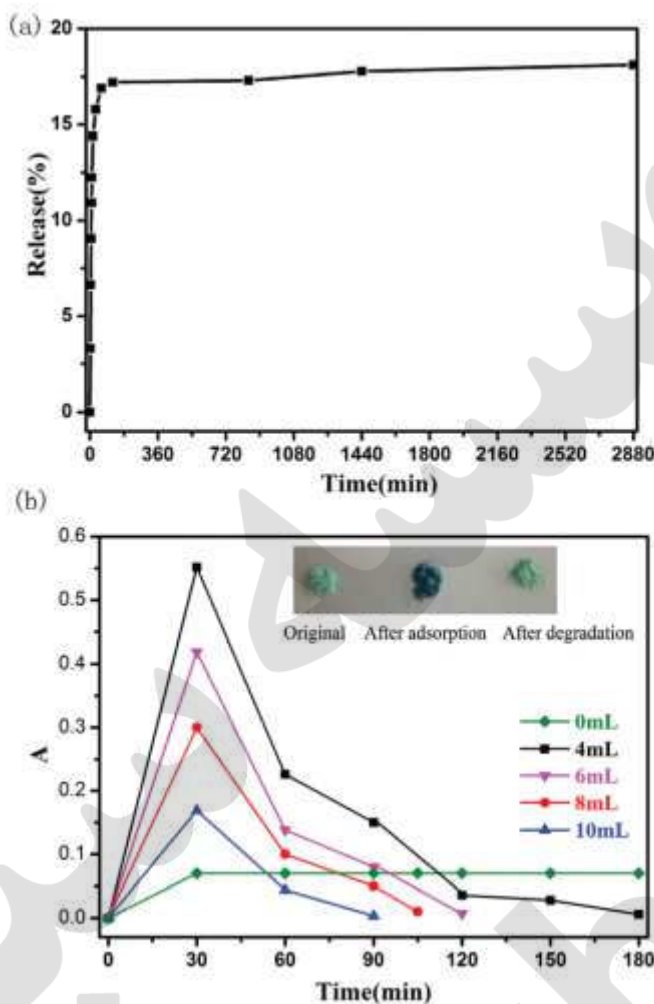
پس از 24 ساعت در مسیر ت، این به تعادل واجذب رسیده و 93.4 درصد MB از محلول جذب شده و بالاتر از مقادیر برای مسیر های B و C است . نتایج فوق نشان می دهد که هر دو اندازه ذرات جاذب و این که آیا محلول A < B < C < D، تاثیر زیادی بر روی نرخ جذب و MB دارد یا خیر. محلول رنگ در بازه های مختلف در بازه های با طیف های واجذب اشعه فرابنفش انجام می شود. این مولکول های RHB با حجم مولکول بزرگ در نظر گرفته شد.



شکل 6: فعالیت واجذب کمپلکس 1 در محلول های رنگی مختلف



شکل 7: الف: ظرفیت جذب انتخابی 1 به سمت محلول ترکیبی MB و RHB در محلول ترکیبی پ: ظرفیت چذب انتخابی 1 به سمت MO و MB محلول ترکیبی ت: درصد حذف MO و MB در محلول ترکیبی.



شکل 8: الف: ازاد سازی مولکول MB در اب خالص در دمای اتاق ب: ازاد سازی و تجزیه نوری مولکول های

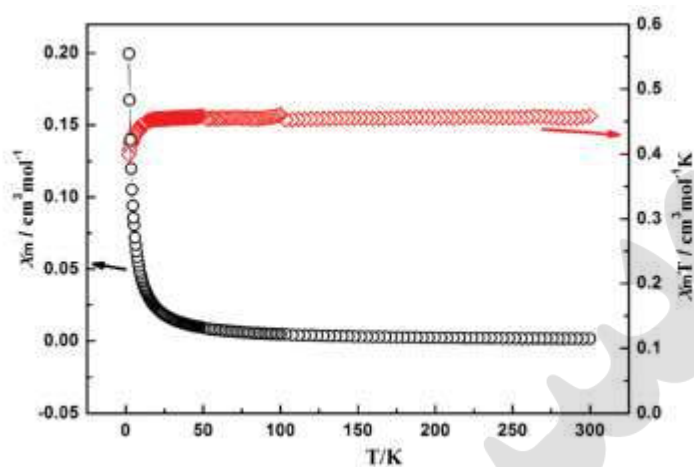
جذب شده MB در حضور پروکسید هیدروژن

## خواص مغناطیسی 2-1

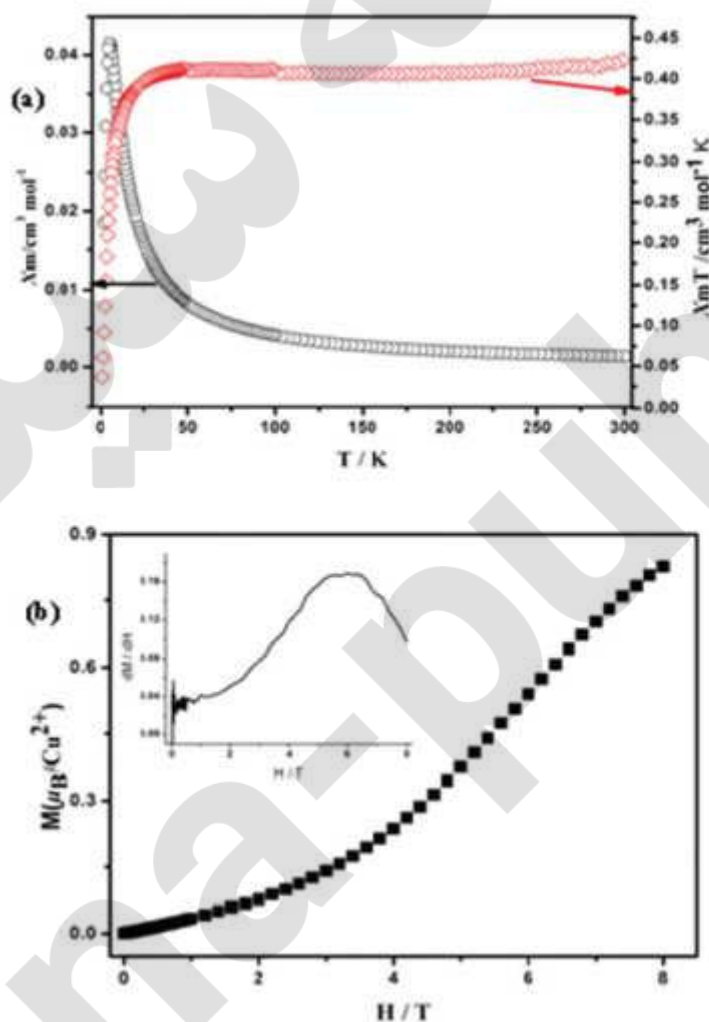
پذیرفتاری مغناطیسی 1 تحت میدان اعمال شده 5 kOe در دامنه دمایی از 300 تا 2K اندازه گیری شد. همان طور که در شکل 9 دیده می شود، پذیرفتاری به طور پیوسته با کاهش دما افزایش می یابد و مقدار  $\chi_m T$  در دمای اتاق که در شکل 9 دیده می شود، پذیرفتاری با کاهش دما افزایش می یابد و مقدار  $\chi_m T$  در دمای اتاق  $0.375 \text{ mol}^{-1} \text{ K}$  برای  $0.457 \text{ cm}^3 \text{ mol}^{-1} \text{ K}$  می باشد که اندکی بیش از مقدار مورد انتظار  $C = 0.45 \text{ cm}^3 \text{ mol}^{-1} \text{ K}$  دارد و ثابت ویس را  $-0.22 \text{ K}$  داده و پدیده پارامغناطیسی مشهودی را نشان می دهد.

پذیرفتاری مغناطیسی 2 تحت میدان اعمال شده  $1 \text{ kOe}$  در دمای متغیر از 300 تا 2 K اندازه گیری شد. همان طور که در شکل 10 الف نشان داده است، پذیرفتاری با کاهش دما افزایش می یابد و یک پیک در حدود 5 K مشاهده می گردد. این ویژگی های انتی فرومغناطیسی را به خوبی نشان می دهد. مقدار  $\chi_{mT}$  در دمای اتاق است که اندرگی بزرگ تر از مقدار مورد انتظار  $0.375 \text{ mol}^{-1} \text{ K}$  برای یک  $0.422 \text{ cm}^3 \text{ mol}^{-1} \text{ K}$  بوده و یک مقدار ثابت را نشان می دهد که به  $0.04 \text{ cm}^3 \text{ mol}^{-1} \text{ K}$  کاهش می یابد.

این رفتار وجود فعل و انفعال انتی فرومغناطیسی بین مراکز  $\text{Cu}^{II}$  ( $S = 1/2, g = 2$ )، به علاوه، رفتار کوری ویس در دامنه دمایی 12 تا 300 K کلوبین مشاهده شده است که ثابت کوری برابر با  $C = 0.41 \text{ cm}^3 \text{ mol}^{-1} \text{ K}$  و ثابت ویس برابر با  $\theta = -1.38 \text{ K}$  را بدست می دهد. ثابت ویس منفی نیز نشان می دهد که فعل و انفعال غالب بین یون های مس، واکنش های انتی فرمغناطیسی هستند. همان طور که در شکل 10 ب نشان داده شده است مغناطیسم تابعی از میدان اعمال شده در 2 K است که افزایش خطی مغناطیسی شدن را در دامنه 0-2.5 T نشان می دهد و از این روی حالت زمینه ای AF مشخص را نشان می دهد. افزایش ناگهانی در میدان 4 T نشان دهنده ظاهر انتقال چرخش فلاپ است. میدان انتقال چرخش فلاپ حدود 5.8 T می باشد که با منحنی  $dM/dH$  تعیین می شود. ارزش مغناطیسی شدن در 8 T  $0.83N\beta$  نزدیک به مقدار اشباع  $1.0N\beta$  برای یک یون مس با  $S = 1/2$  است که نشان می دهد اسپین وارد حالت فرمغناطیس می شود. ویژگی های پسمند به صورت رژیم های میدان کاهشی یا افزایشی مشاهده نشده است. پذیرفتاری مغناطیسی 2 تحت میدان های مغناطیسی مختلف در دامنه دمایی 2-30 K اندازه گیری شده است. همان طور که در شکل 11 می بینید، مقدار پیک به تدریج با افزایش میدان مغناطیسی ناپدید می شود و این هم خوانی خوبی با داده های مغناطیسی دارد و موید این است که انتقال مغناطیسی از AF تا F به صورت اسپین فلاپ است.



شکل 9: وابستگی دمایی  $\chi_m T$  و  $\chi_m$  در 1



شکل 10: (الف): وابستگی دمایی  $\chi_m T$  و  $\chi_m$  در 2 ب: وابستگی میدانی مغناطیسم در K2

نتیجه گیری

به طور خلاصه، ما دو مواد هیبریدی الی-غیر الی مبتنی بر POM دو بعدی را تحت شرایط هیدروترمال سنتز کردیم. زنجیره های  $\{Mo_4O_{13}\}_n$  در 1 و انيون های ايزوپلی اكسالامات در 2 با يون های مس اکتاھدرال به دو لایه هیبریدی دو بعدی پیوند می خورد. نکته جالب این که لیگاند های  $bpo-3$  در هر دو 1 و 2 در دو طرف لایه قرار داشته و با يون های مس در لایه از طریق پیوند  $n$  پیردیل پیوند برقرار می کند و در عین حال این لایه ها به چارچوب ابر مولکولی سه بعدی از طریق پیوند های ضعیف  $Mo^{...}N_{oxadiazole}$  متصل می شوند. یک نکته مهم دیگر برای 1 این است که خوشه های آب در کanal های یک بعدی احاطه شده با واحد های ايزوپلی تترامولیبدات پر می شوند. به علاوه، جذب رنگ و ویژگی های فتوکاتالیسی 1 و خواص مغناطیسی 2 بررسی شد. نتایج نشان داد که کمپلکس 1 نه تنها یک فتوکاتالیزور ناهمگن خوب در تجزیه رنگ های الی MO-MB میباشد، بلکه دارای ظرفیت جذب بالای MB و توانایی بالا برای جذب MB از ترکیب دو دوبی است. همه مولکول های MB بر روی 1 کاملا ازad شده و در حضور پروکسید کافی تجزیه نوری می شوند. وابستگی دمایی پذیرفتاری مغناطیسی نشان داد که کمپلکس 2 یک ترتیب انتی فرومغناطیسی را در حدود 5K نشان می دهد و یک انتقال اسپین فلاپ در 2K در T 5.8 مشاهده شد و رفتار متنا مغناطیسی را از فاز انتی فرومغناطیسی تا فرومغناطیسی نشان داد.